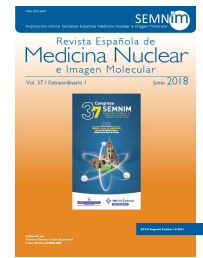




# Revista Española de Medicina Nuclear e Imagen Molecular



## 0 - PROTOCOLO DE IMAGEN TARDÍA EN LA EXPLORACIÓN 18F-FDG PET/TC PARA LA CARACTERIZACIÓN DEL NÓDULO PULMONAR SOLITARIO CON CAPTACIÓN BAJA

F.L. Grisanti, B. García-García, M.I. Morales, J.J. Rosales, L. Sancho Rodríguez, E.F. Guillén, M.L. Acosta, M.D. Lozano Escario y M.J. García-Velloso

Clínica Universidad de Navarra.

### Resumen

**Objetivo:** Determinar la utilidad de las imágenes tardías en 18F-FDG PET/TC para la caracterización de nódulo pulmonar solitario (NPS) con captación inferior al punto de corte aceptado para enfermedad tumoral.

**Material y métodos:** Se analizaron retrospectivamente 42 pacientes (29 varones,  $65 \pm 10$  años, rango de 36-83 años) remitidos para la caracterización de NPS, explorados con FDG-PET/TC y con un valor de  $SUV_{m\acute{a}x} < 2,5$  a los 60 minutos de la inyección de FDG ( $SUV_{m\acute{a}x1}$ ). Se realizaron imágenes tardías a los 180 min ( $SUV_{m\acute{a}x2}$ ) y se calculó el índice de retención considerando positivo un aumento de  $\geq 10\%$ . El diagnóstico definitivo se obtuvo por confirmación histopatológica ( $n = 26$ ) o por seguimiento clínico-radiológico durante 2 años, determinando la sensibilidad, especificidad y precisión diagnóstica.

**Resultado:** Se confirmó neoplasia en 25/42 pacientes (60%), siendo el PET/TC realizado a los 180 minutos positivo en 17 de ellos (índice de retención:  $36,4 \pm 20,8\%$ , rango de 10,9-77,8%). La sensibilidad, especificidad y precisión diagnóstica fueron 68%, 70% y 69% respectivamente. Se objetivaron 8 falsos negativos debido a adenocarcinoma de pulmón ( $n = 4$ ), tumor neuroendocrino ( $n = 2$ ), linfoma de tejido linfoide asociado a mucosas ( $n = 1$ ) y metástasis de carcinoma renal de células claras ( $n = 1$ ). En pacientes con cáncer, el  $SUV_{m\acute{a}x2}$  ( $1,67 \pm 0,90$ ) fue superior al  $SUV_{m\acute{a}x1}$  ( $1,31 \pm 0,52$ ;  $p < 0,01$ ), mientras que, en pacientes sin enfermedad tumoral no se encontraron diferencias significativas ( $SUV_{m\acute{a}x1}$ :  $1,31 \pm 0,45$ ;  $SUV_{m\acute{a}x2}$ :  $1,36 \pm 0,48$ ;  $p = 0,49$ ).

**Conclusiones:** En pacientes con NPS cuya captación es baja, las imágenes tardías PET/TC permiten detectar tumores con bajo metabolismo glicolítico y mejorar el rendimiento diagnóstico.